

自动控制理论 A

Matlab 仿真实验报告

实验名称：根轨迹与频率特性分析

姓名：方尧

学号：190410102

班级：19级自动化1班

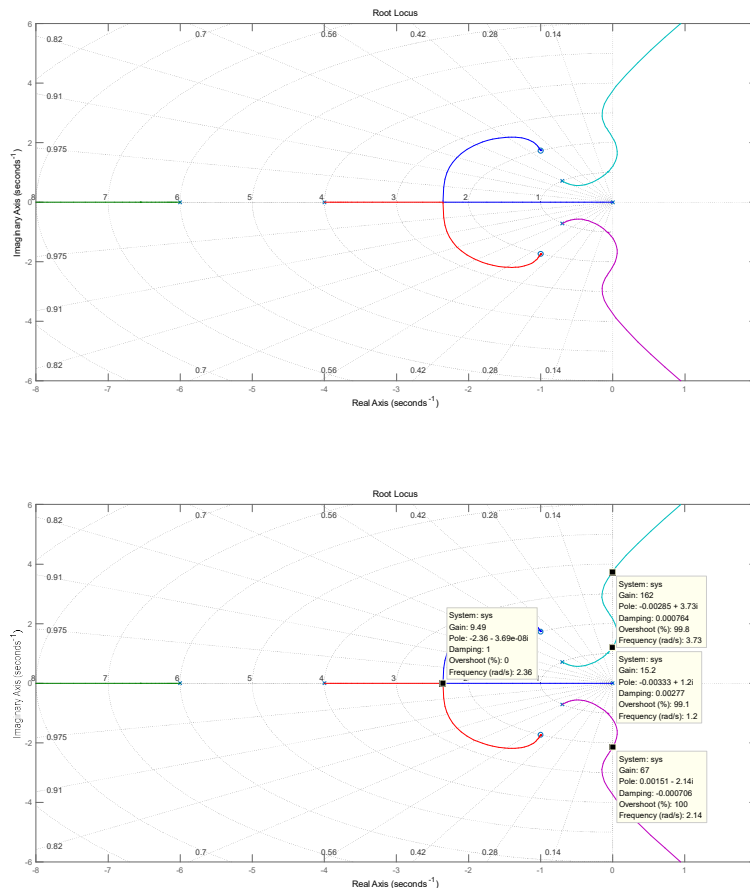
撰写日期：2021年12月28日

哈尔滨工业大学（深圳）

一、基于根轨迹的性能分析

1. 对开环传递函数 $G(s)$ 、 $G_1(s)$ 和 $G_2(s)$ 分别画出关于根轨迹增益 k 的闭环根轨迹图，给出根轨迹的分离点、与虚轴的交点，给出使闭环系统稳定的参数 k 的范围。

- $G(s)$ 关于根轨迹增益 k 的闭环根轨迹图如下：



根轨迹的分离点、与虚轴的交点测量如下：

$G(s)$	分离点	虚轴交点					
坐标	(-2.36,0)	(0,3.74)	(0,2.14)	(0,1.2)	(0,-1.2)	(0,-2.14)	(0,-3.74)
增益K	9.49	162	67	15.2	15.2	67	162

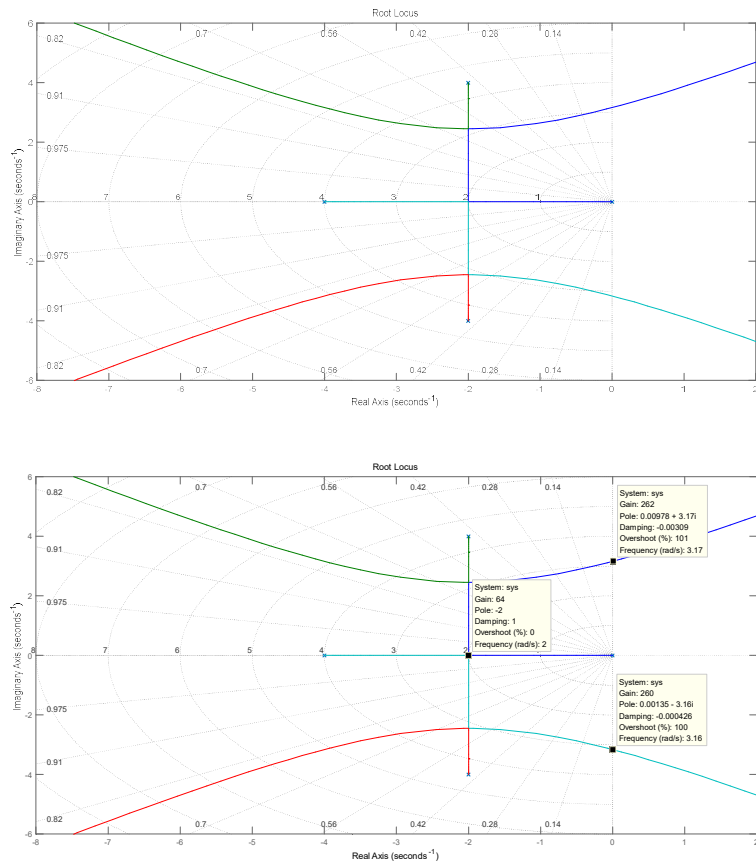
根据根轨迹以及测量数据可知使闭环系统稳定的参数 k 的范围为： $k \in (0,15.2) \cup (67,162)$

MATLAB代码如下：

%1.1.1_G(S)闭环根轨迹图

```
clear
num=[1,2,4];
den=conv(conv([1,4,0],[1,6]),[1,1.4,1]);
sys=tf(num,den);
rlocus(sys);
axis([-8 2 -6 6]);grid on
```

- $G_I(s)$ 关于根轨迹增益 k 的闭环根轨迹图如下：



根轨迹的分离点、与虚轴的交点测量如下：

$G_I(s)$	分离点	虚轴交点	
坐标	(-2,0)	(0,3.17)	(0,-3.17)
增益 K	64	260	260

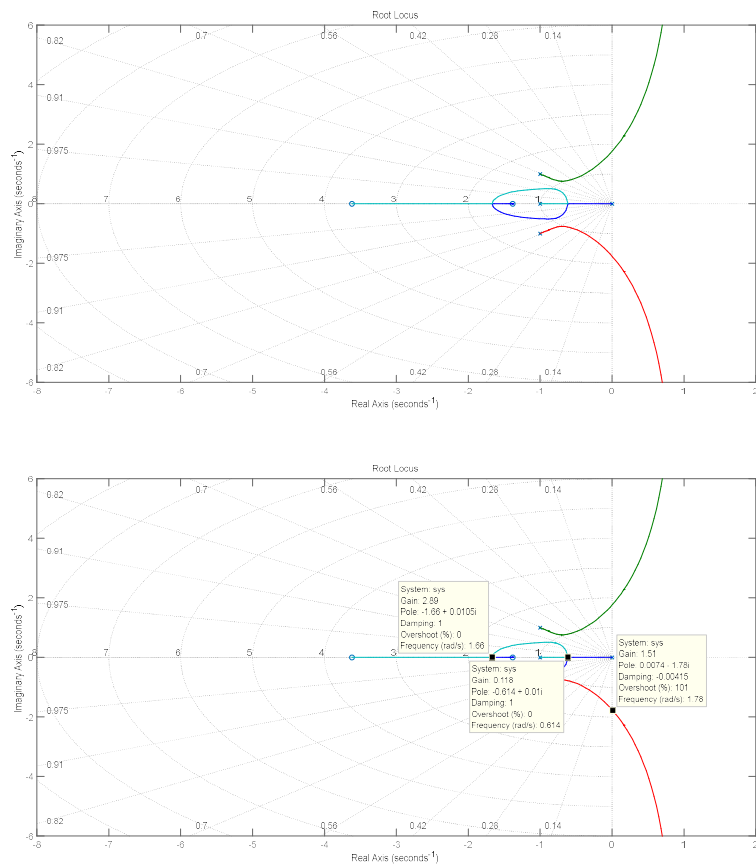
根据根轨迹以及测量数据可知使闭环系统稳定的参数 k 的范围为： $k \in (0, 260)$

MATLAB代码如下：

%1.1.2_ $G_I(s)$ 闭环根轨迹图

```
clear
num=[1];
den=conv([1,4,0],[1,4,20]);
sys=tf(num,den);
rlocus(sys);
axis([-8 2 -6 6]);grid on
```

• $G_2(s)$ 关于根轨迹增益 k 的闭环根轨迹图如下：



根轨迹的分离点、与虚轴的交点测量如下：

$G_2(s)$	分离点		虚轴交点	
坐标	(-1.66,0)	(-0.61,0)	(0,1.78)	(0,-1.78)
增益 K	2.89	0.118	1.51	1.51

根据根轨迹以及测量数据可知使闭环系统稳定的参数 k 的范围为： $k \in (0, 1.51)$

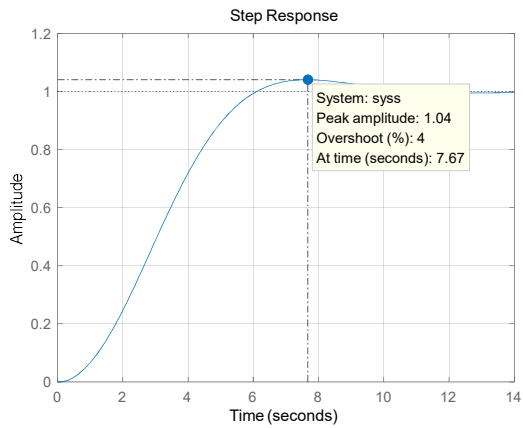
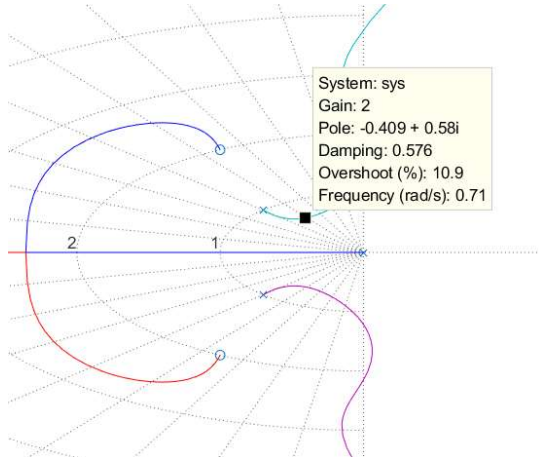
MATLAB代码如下：

%1.1.3_ $G_2(s)$ 闭环根轨迹图

```
clear
num=[1,5,5];
den=conv([1,1,0],[1,2,2]);
sys=tf(num,den);
rlocus(sys);
axis([-8 2 -6 6]);grid on
```

2. 对开环传递函数 $G(s)$ 、 $G_1(s)$ 和 $G_2(s)$ ，借助等阻尼比射线，找出使闭环主导极点的阻尼比在0.3~0.8 之间的某一根轨迹增益，画出在该增益下单位反馈闭环系统的阶跃响应。比较从阶跃响应上得到超调与从根轨迹信息框里的超调，进而给出简单的结论。

• $G(s)$ 取 $k=2$ ， $\xi = 0.576$

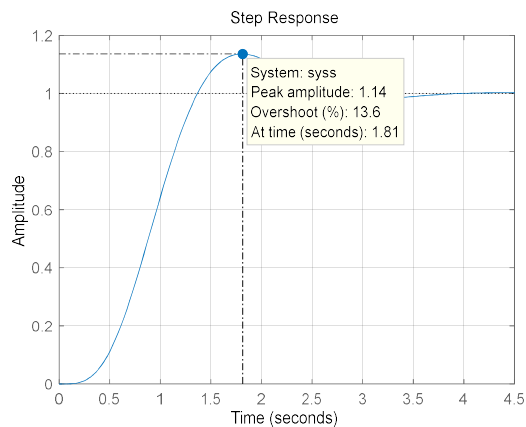
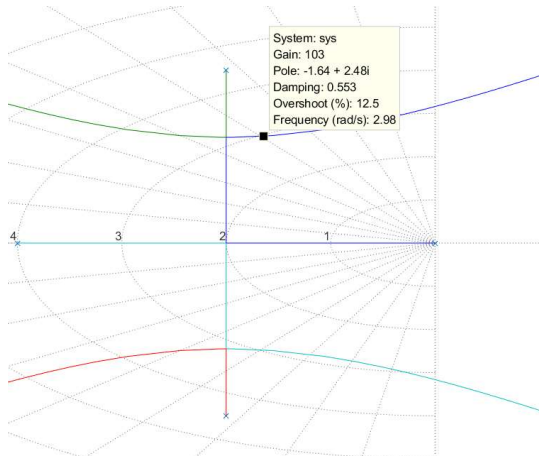


根轨迹信息框里的超调为10.9%；阶跃响应上得到超调为4%

MATLAB代码如下：

```
%1.2.1_G(s)
k=2;
num=k*[0,0,0,1,2,4];
den=conv(conv([1,4,0],[1,6]),[1,1.4,1]);
sys=tf(num,den+num);
step(sys)
```

• $G_1(s)$ 取 $k=103$ ， $\xi = 0.553$

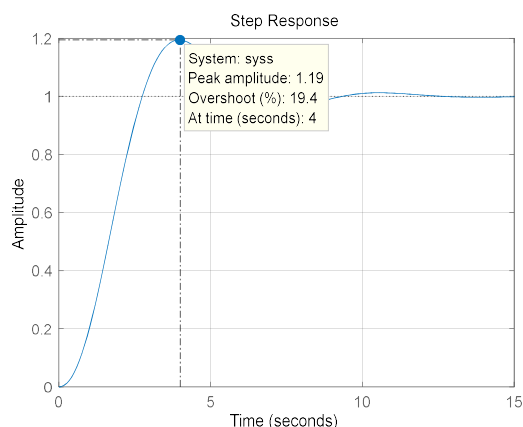
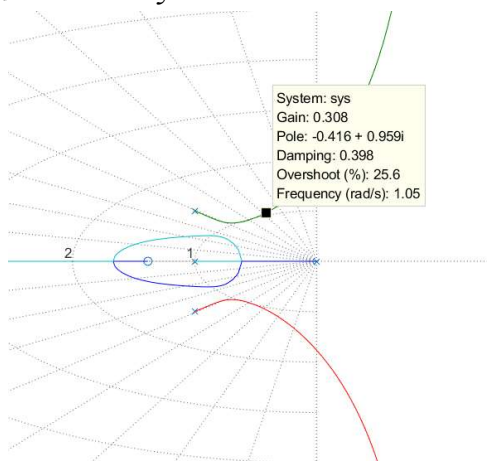


根轨迹信息框里的超调为12.5%；阶跃响应上得到超调为13.6%

MATLAB代码如下：

```
%1.2.2_G1(s)
k=103;
num=k*[0,0,0,0,1];
den=conv([1,4,0],[1,4,20]);
sys=tf(num,den+num);
step(sys)
```

- $G_2(s)$ 取 $k=0.308$, $\xi = 0.398$



根轨迹信息框里的超调为25.6%；阶跃响应上得到超调为19.4%

MATLAB代码如下：

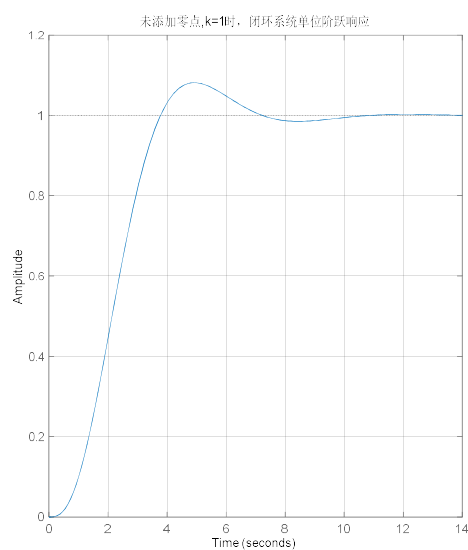
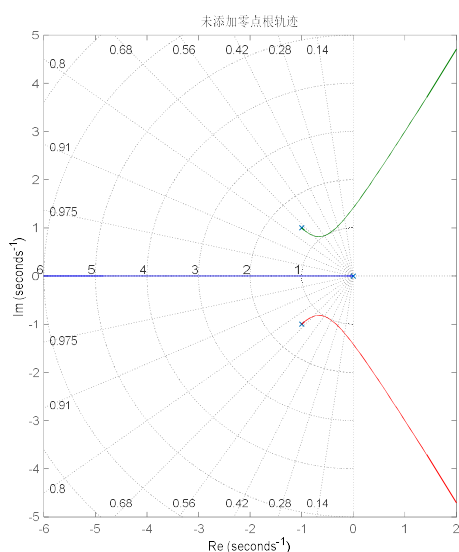
```
%1.2.3_G2(s)
k=0.308;
num=k*[0,0,1,5,5];
den=conv([1,1,0],[1,2,2]);
syss=tf(num,den+num);
step(syss)
```

结论：根轨迹信息框里的超调量与阶跃响应得到的超调量不一致，没有明显的大小关系，实际时应该以阶跃响应得到的超调量为准。

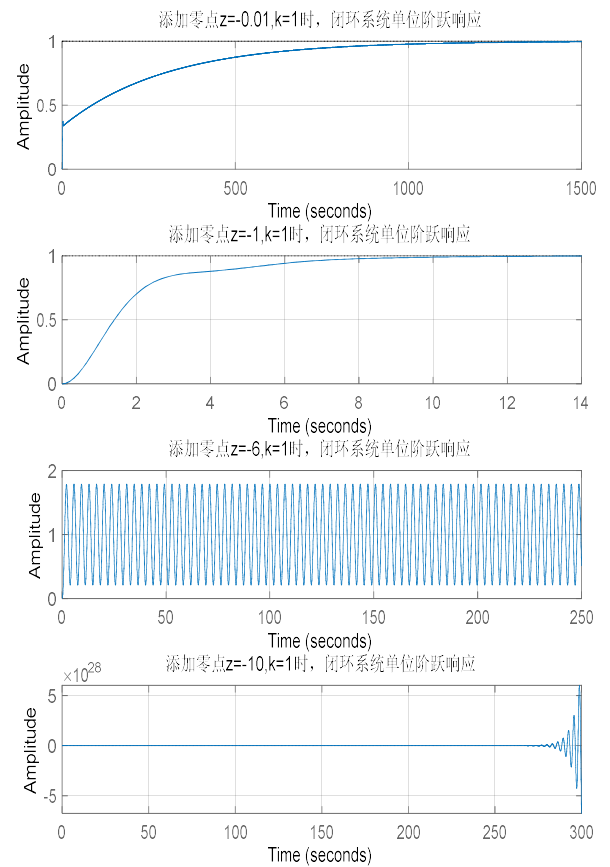
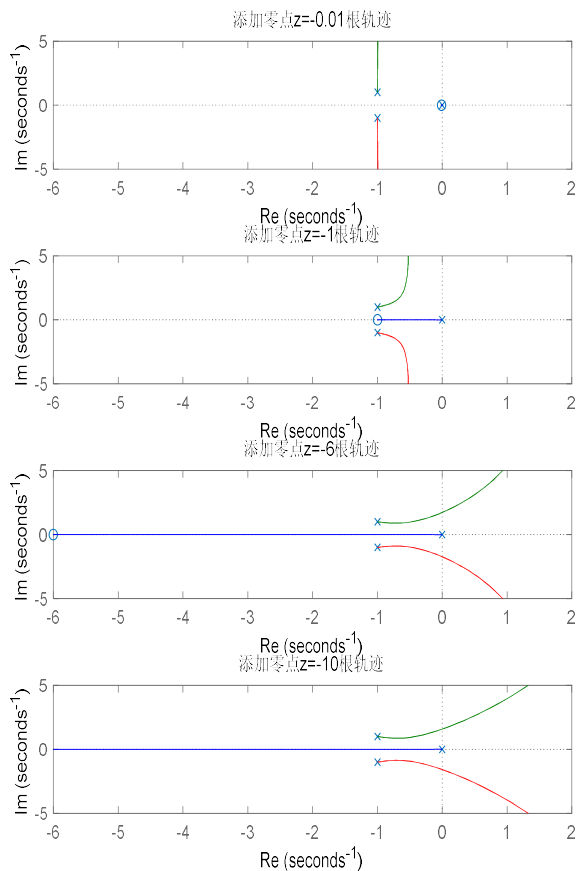
3. 对开环传递函数 $G_3(s)$ 画出不同零点时的根轨迹，并与不含零点时的根轨迹进行比较，给出简单的结论。

要求：给出画根轨迹的m文件的代码，画出根轨迹，给出单位阶跃响应图。

- $G_3(s)$ 未添加零点时根轨迹如下：



- $G_3(s)$ 分别添加零点 $z=[0,-1,-3,-5,-8,-10]$ 时根轨迹如下:



结论: 不同于二阶系统添加零点, 对于三阶系统 $G_3(s)$, 添加开环零点后, 零点越靠近虚轴, 闭环系统单位阶跃响应越接近未添加零点的原系统, 零点越远离虚轴 ($|z|$ 越大), 系统越易不稳定。

MATLAB代码如下:

```
%1.3 G3(s)添加零点
num=[1];
den=[1,2,2,0];
sys=tf(num,den);
syss=tf(num,den+[0,0,0,num]);
subplot(1,2,1)
rlocus(sys);grid on
title('未添加零点根轨迹');xlabel('Re'),ylabel('Im')
%阶跃响应
subplot(1,2,2)
step(syss),grid on
title('未添加零点,k=1时, 闭环系统单位阶跃响应');
%添加零点
figure
z=[-0.01,-1,-6,-10];
for k=1:4
    num=[1,-z(k)];
    den=[1,2,2,0];
    sys=tf(num,den); %开环传递函数
```

```

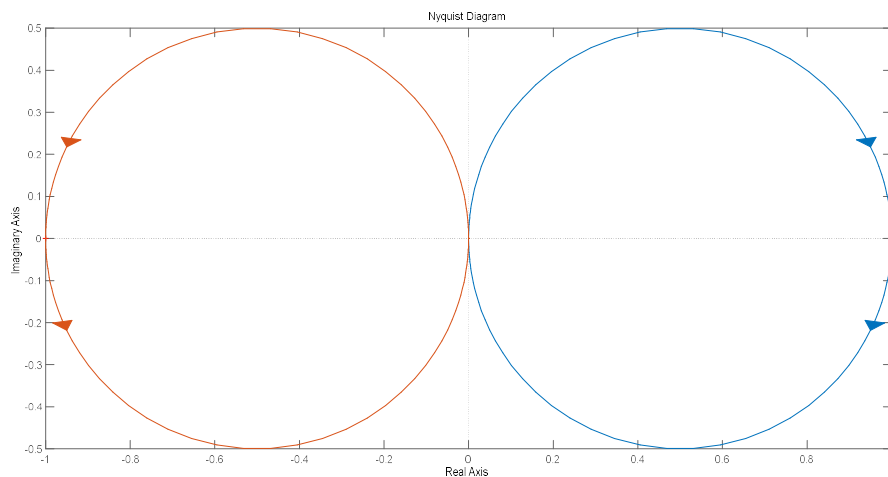
syss=tf(num,den+[0,0,num]); %闭环传递函数
%Nyquist 曲线
subplot(4,2,2*k-1)
rlocus(sys);
tit=['添加零点 z=',num2str(z(k)),'根轨迹'];
title(tit);xlabel('Re'),ylabel('Im')
axis([-6 2 -5 5]);
%阶跃响应
subplot(4,2,2*k)
step(syss),grid on
tit=['添加零点 z=',num2str(z(k))','k=1 时，闭环系统单位阶跃响应'];
title(tit);
end

```

二、线性系统的频率特性分析

1. 固定K和T，在同一幅图里绘制一阶惯性环节 $G(s) = \frac{K}{Ts+1}$ 和非最小相位的惯性环节

$G(s) = \frac{K}{Ts-1}$ 的Nyquist图，说明它们的Nyquist图的关系。



它们的Nyquist图关于原点中心对称，由于各自Nyquist图都为圆形，故也关于虚、实轴对称。

MATLAB代码如下：

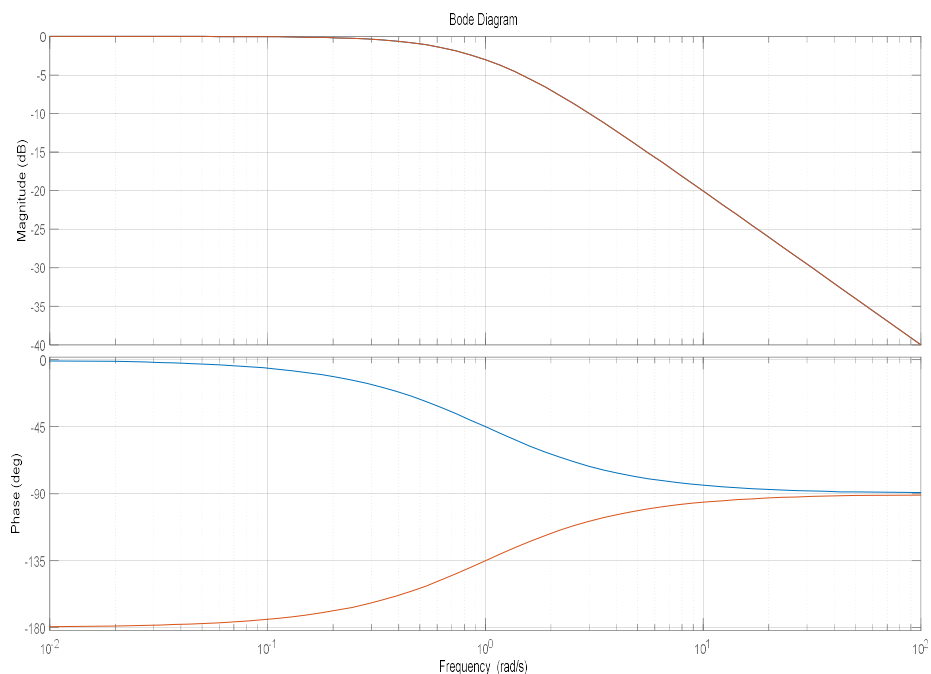
```

%2.1
K=1;T=1;
num=[K];
den=[T 1];
sys=tf(num,den);
den=[T -1];
syss=tf(num,den);
nyquist(sys);hold on
nyquist(syss)

```


2. 固定K和T，在同一幅图里绘制一阶惯性环节 $G(s) = \frac{K}{Ts+1}$ 和非最小相位的惯性环节

$G(s) = \frac{K}{Ts-1}$ 的Bode图，说明它们的Bode图的关系。



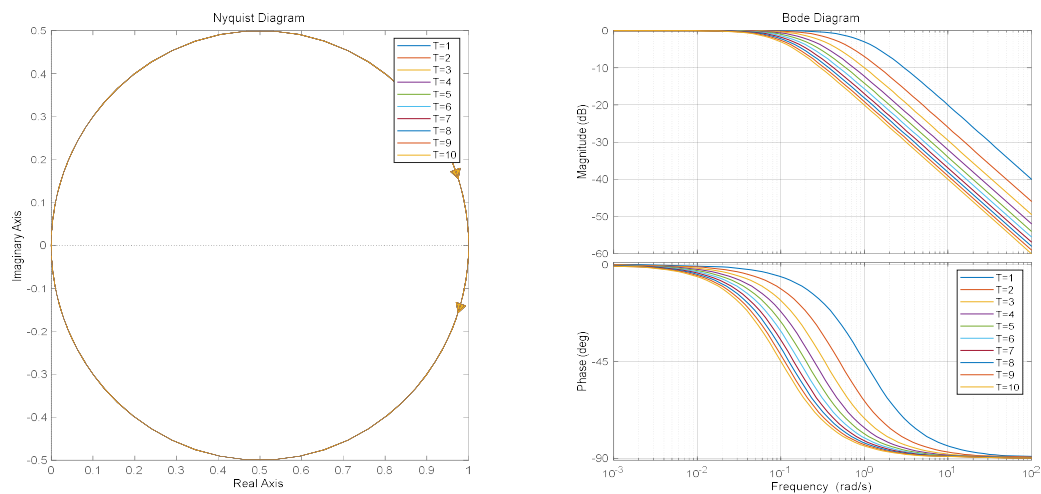
它们的Bode图的关系：幅频重叠，相频关于 -90° 直线对称。

MATLAB代码如下：

%2.2

```
K=1;T=1;  
num=[K];  
den=[T 1];  
sys=tf(num,den);  
den=[T -1];  
syss=tf(num,den);  
bode(sys);hold on  
bode(syss)
```

3. 固定K，分别在同一幅图绘制不同T时一阶惯性环节 $G(s) = \frac{K}{Ts+1}$ 的Nyquist图和Bode图，分析T的变化对Nyquist曲线和Bode图的影响。

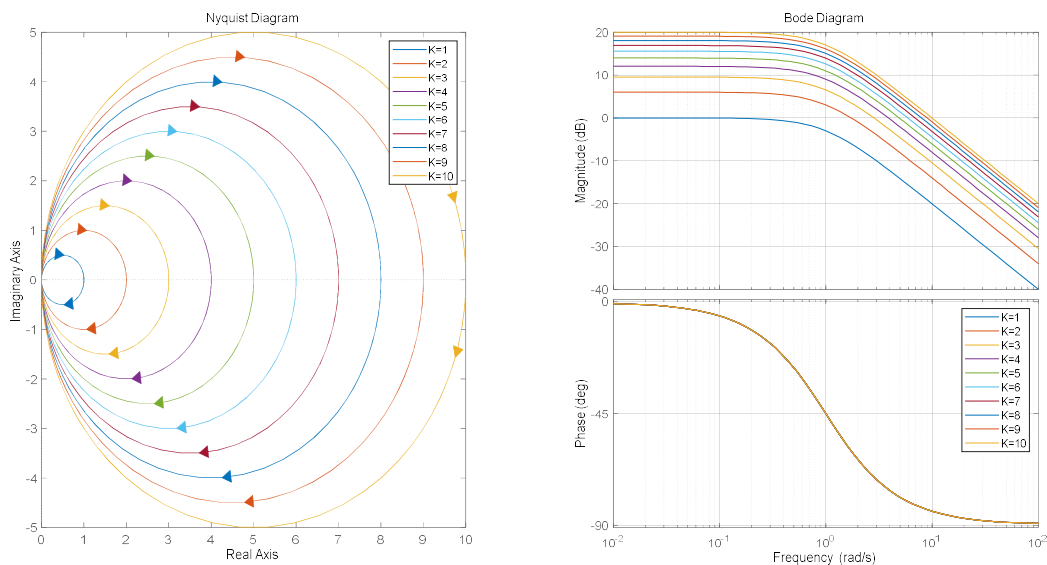


固定K，T越大，对Nyquist图没有影响；T越大，bode图幅频特性的转折频率越小，下降段斜率保持不变，相频特性的对称点频率越小。

MATLAB代码如下：

```
%2.3
K=1;
subplot(1,2,1)%nyquist 图
for T=1:10
    num=[K];
    den=[T 1];
    sys=tf(num,den);
    nyquist(sys),hold on
    legd{T}=['T= ',num2str(T)];
end
legend(legd)
subplot(1,2,2)%bode 图
for T=1:10
    num=[K];
    den=[T 1];
    sys=tf(num,den);
    bode(sys),hold on
    legd{T}=['T= ',num2str(T)];
end
legend(legd)
```

4. 固定T，分别在同一幅图绘制不同K时一阶惯性环节 $G(s) = \frac{K}{Ts+1}$ 的Nyquist图和Bode图，分析K的变化对Nyquist曲线和Bode图的影响。



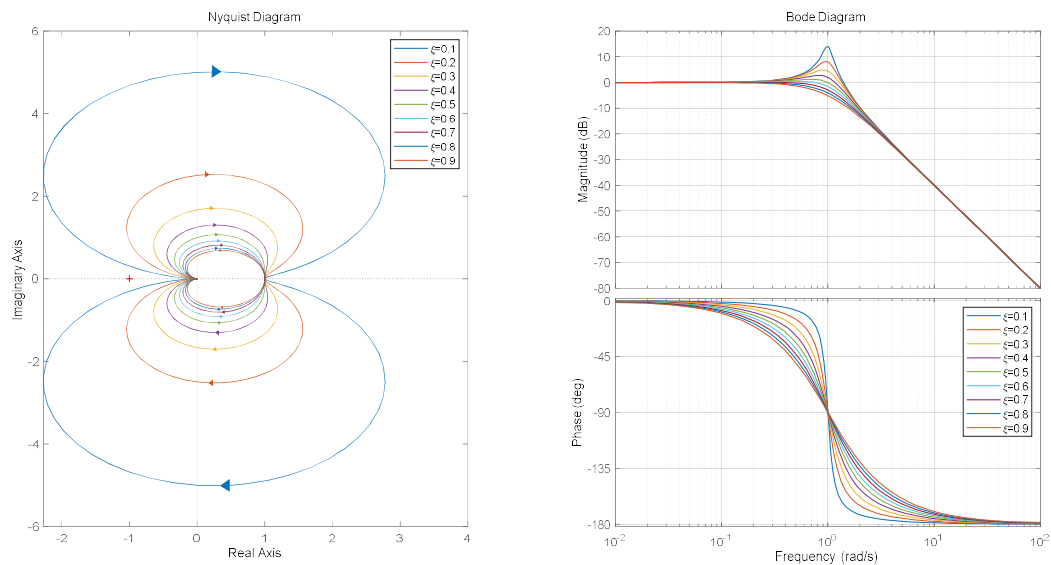
固定T，K越大，Nyquist曲线“圆”直径越大，但最终都回到原点；bode图幅频特性起始直线位置越高，转折频率不变；对相频特性无影响。

MATLAB代码如下：

%2.4

```
T=1;
subplot(1,2,1)%nyquist 图
for K=1:10
    num=[K];
    den=[T 1];
    sys=tf(num,den);
    nyquist(sys),hold on
    legd{K}=[ 'K= ',num2str(K)];
end
legend(legd)
subplot(1,2,2)%bode 图
for K=1:10
    num=[K];
    den=[T 1];
    sys=tf(num,den);
    bode(sys),hold on
    legd{K}=[ 'K= ',num2str(K)];
end
legend(legd)
```

5. T固定，分别在同一幅图绘制不同阻尼比时二阶振荡环节 $G(s) = \frac{1}{T^2 s^2 + 2T\xi s + 1}$ 的Nyquist图和Bode图，分析阻尼比的变化对Nyquist曲线和Bode图的影响。

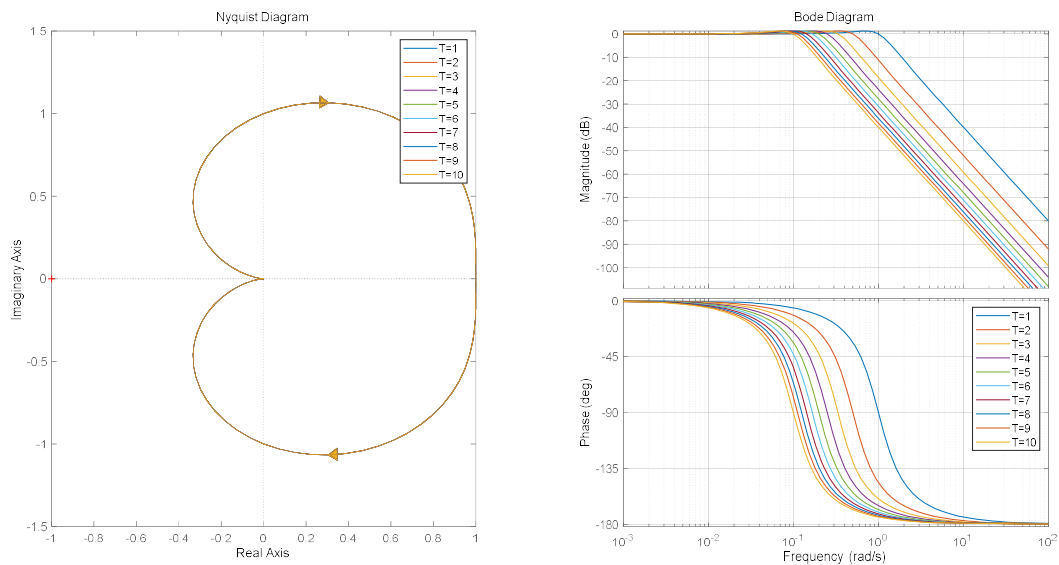


固定T， ξ 越大，Nyquist曲线相同相角下幅频更小，直径更小，但起点和终点相同； ξ 越大，bode图幅频特性转折频率附近谐振峰值越小，甚至不谐振；相频特性变化越平缓，但对称中心不变。

MATLAB代码如下：

```
%2.5
T=1;
subplot(1,2,1)%nyquist 图
xi=0.1:0.1:0.9;
for t=1:9
    num=[1];
    den=[T^2 2*T*xi(t) 1];
    sys=tf(num,den);
    nyquist(sys),hold on
    legd{t}=['\xi=',num2str(xi(t))];
end
legend(legd)
subplot(1,2,2)%bode 图
for t=1:9
    num=[1];
    den=[T^2 2*T*xi(t) 1];
    sys=tf(num,den);
    bode(sys),hold on
    legd{t}=['\xi=',num2str(xi(t))];
end
legend(legd)
```

6. 阻尼比固定，分别在同一幅图绘制不同时间常数时 $G(s) = \frac{1}{T^2 s^2 + 2T\xi s + 1}$ 的Nyquist图和Bode图，分析时间常数T的变化对Nyquist曲线和Bode图的影响。

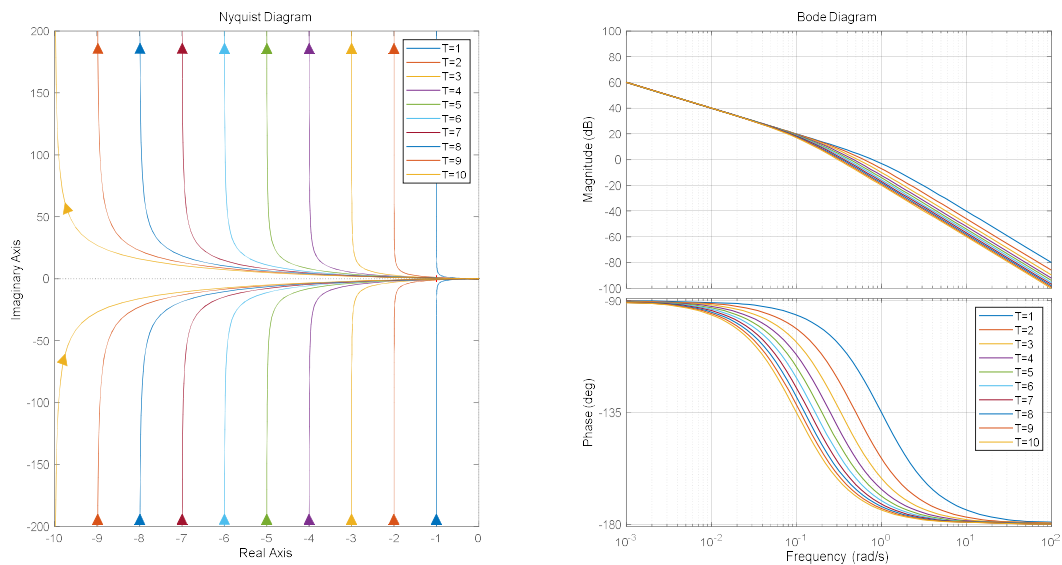


固定 ξ ， T 变化，Nyquist曲线重叠； T 越大，bode图幅频特性转折频率越小，谐振峰值相等，相频特性对称点对应频率变小。

MATLAB代码如下：

```
%2.6
xi=0.5;
subplot(1,2,1)%nyquist 图
for T=1:10
    num=[1];
    den=[T^2 2*T*xi 1];
    sys=tf(num,den);
    nyquist(sys),hold on
    legd{T}=[ 'T=',num2str(T)];
end
legend(legd)
subplot(1,2,2)%bode 图
for T=1:10
    num=[1];
    den=[T^2 2*T*xi 1];
    sys=tf(num,den);
    bode(sys),hold on
    legd{T}=[ 'T=',num2str(T)];
end
legend(legd)
```

7. K固定，分别在同一幅图绘制不同时间常数T时 $G(s) = \frac{K}{s(Ts+1)}$ 的Nyquist图和Bode图，分析时间常数T的变化对Nyquist曲线和Bode图的影响。

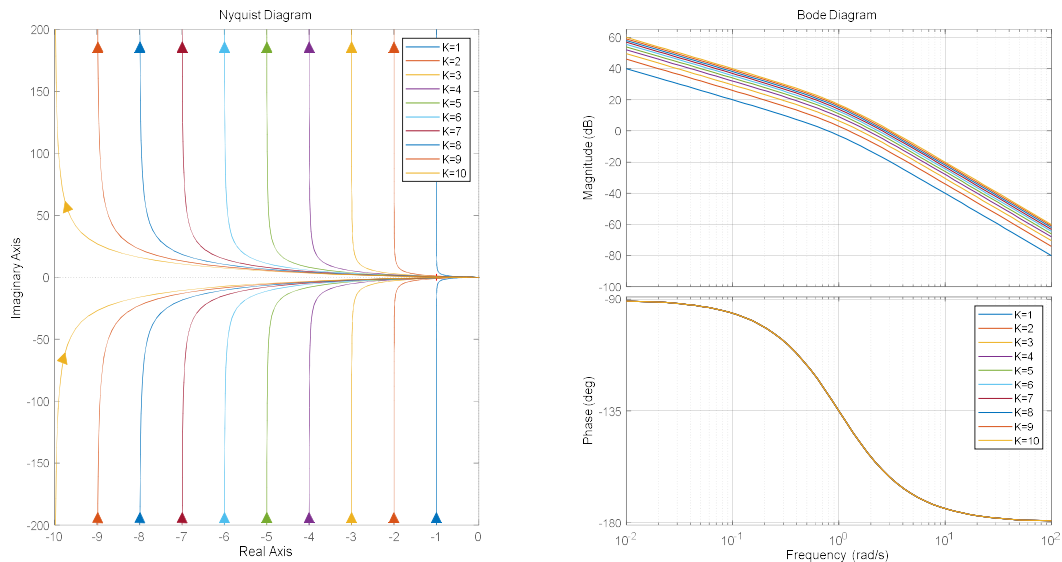


固定K，T越大，Nyquist曲线越靠近虚轴；T越大，bode图幅频特性转折频率越小，相频特性对称点对应频率变小。

MATLAB代码如下：

```
%2.7
K=1;
subplot(1,2,1)%nyquist 图
for T=1:10
    num=[K];
    den=[T 1 0];
    sys=tf(num,den);
    nyquist(sys),hold on
    legd{T}=[ 'T= ',num2str(T)];
end
legend(legd)
subplot(1,2,2)%bode 图
for T=1:10
    num=[K];
    den=[T 1 0];
    sys=tf(num,den);
    bode(sys),hold on
    legd{T}=[ 'T= ',num2str(T)];
end
legend(legd)
```

8. T固定，分别在同一幅图绘制不同开环增益K时 $G(s) = \frac{K}{s(Ts+1)}$ 的Nyquist图和Bode图，分析开环增益K的变化对Nyquist曲线和Bode图的影响。对给定的K和T，判断单位反馈闭环系统的稳定性。



固定T，K越大，Nyquist曲线越靠近虚轴；K越大，bode图幅频特性起始点越高，斜率保持不变，转折点不变，相频特性重叠。

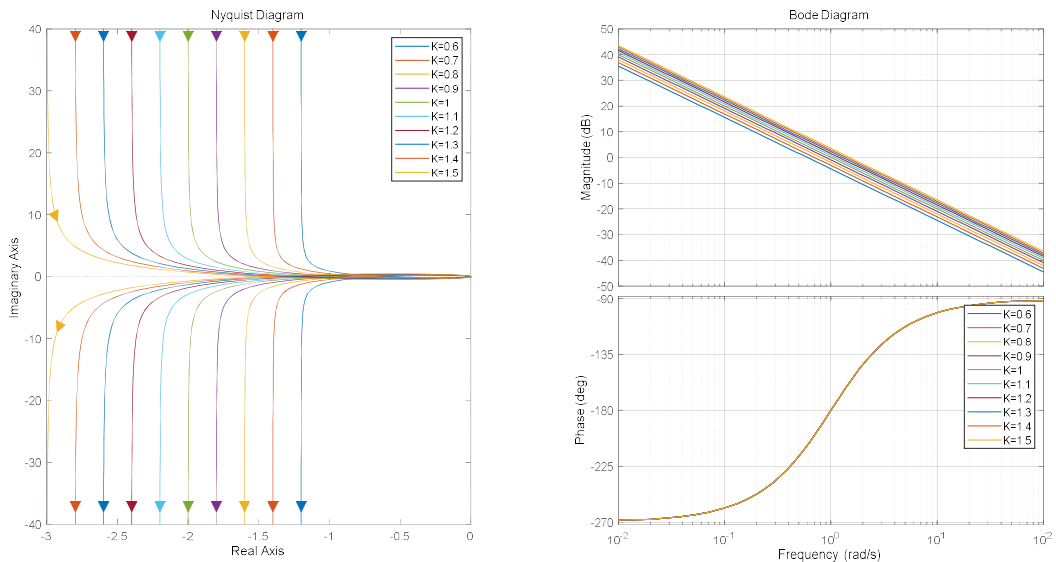
由于 $G(s) = \frac{K}{s(Ts+1)}$ ， $\Phi(s) = \frac{K}{Ts^2 + s + K}$ 为二阶系统， $T>0, K>0$ 即能保证系统稳定。故所选择系统均稳定。

MATLAB代码如下：

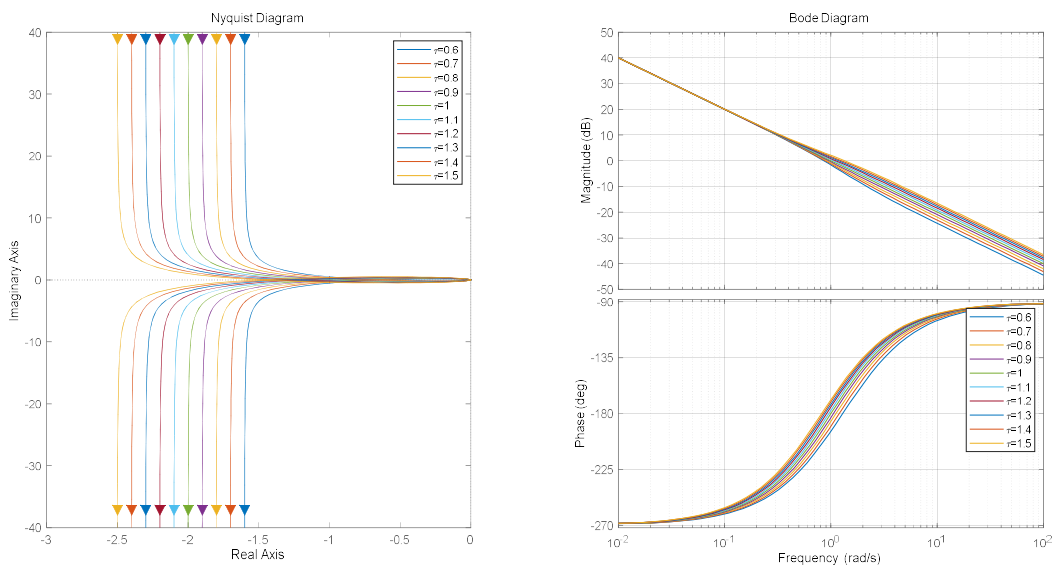
```
%2.8
T=1;
subplot(1,2,1)%nyquist 图
for K=1:10
    num=[K];
    den=[T 1 0];
    sys=tf(num,den);
    nyquist(sys),hold on
    legd{K}=[ 'K=',num2str(K)];
end
legend(legd)
subplot(1,2,2)%bode 图
for K=1:10
    num=[K];
    den=[T 1 0];
    sys=tf(num,den);
    bode(sys),hold on
    legd{K}=[ 'K=',num2str(K)];
end
legend(legd)
```

9. 固定 T 和 τ ，分别在一幅图绘制不同 K 时， $G(s) = \frac{K(\tau s + 1)}{s(Ts - 1)}$ 的Nyquist图和Bode图；固定 T 和 K ，分别在一幅图绘制不同 τ 时 $G(s) = \frac{K(\tau s + 1)}{s(Ts - 1)}$ 的Nyquist图和Bode图。分析 K 和 τ 的变化对Nyquist曲线和 Bode图的影响，并分析单位反馈闭环系统的稳定性。特别注意 $K\tau = 1$ 这一分界点。

固定 T 和 τ ：



固定 T 和 K ：



结论：

- (1) 固定 $T=1$ ， $\tau=1$ ， K 在0.6-1.5变化， K 越大，Nyquist曲线越远离虚轴；bode图中，相频起始点更高，斜率相同，相频重叠。
- (2) 固定 $T=1$ ， $K=1$ ， τ 在0.6-1.5变化， τ 越大，Nyquist曲线越远离虚轴；bode图中，相频起始斜率相同，高频时 τ 越小，下降越快； τ 越大，相频转折频率越小。
- (3) 取 $T=1$ ， $\tau=1$ ， $K=0.6-1.5$ ，由于 $K=1$ 时，曲线恰好过 $(-1, j0)$ ，闭环系统临界稳定。由Nyquist稳定判据，

当 $K > 1$ 时，系统稳定， K 小于1时，系统不稳定。

取 $T=1$ ， $K=1$ ， $\tau=0.6-1.5$ ，由于 $\tau=1$ 时，曲线恰好过 $(-1, j0)$ ，闭环系统临界稳定。由Nyquist稳定判据，当 $\tau > 1$ 时，系统稳定， τ 小于1时，系统不稳定。

(4) 由劳斯判据也可知， $K\tau = 1$ 系统临界稳定。系统稳定条件是 $K\tau > 1$ ，与Nyquist稳定判据得到结果相符合。

MATLAB代码如下：

%2.9

$T=1$; $t=1$; %固定 $T=1$ $\tau=1$, K 在 $0.6-1.5$ 变化

subplot(1,2,1)%nyquist 图

$K=0.6:0.1:1.5$

for $k=1:10$

num=[$K(k)*t$ $K(k)$];

den=[T -1 0];

sys=tf(num,den);

nyquist(sys),hold on

legd{k}=[' $K=$ ', num2str($K(k)$)]];

end

legend(legd)

subplot(1,2,2)%bode 图

for $k=1:10$

num=[$K(k)*t$ $K(k)$];

den=[T -1 0];

sys=tf(num,den);

bode(sys),hold on

legd{k}=[' $K=$ ', num2str($K(k)$)]];

end

legend(legd)

figure

$T=1$; $K=1$; %固定 $T=1$ $K=1$, τ 在 $0.6-1.5$ 变化

subplot(1,2,1)%nyquist 图

$t=0.6:0.1:1.5$

for $k=1:10$

num=[$K*t(k)$ K];

den=[T -1 0];

sys=tf(num,den);

nyquist(sys),hold on

legd{k}=[' $\tau=$ ', num2str($t(k)$)]];

end

legend(legd)

subplot(1,2,2)%bode 图

for $k=1:10$

num=[$K*t(k)$ K];

den=[T -1 0];

sys=tf(num,den);

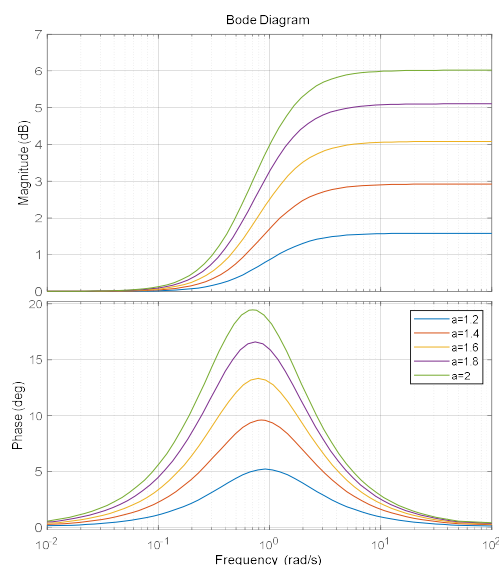
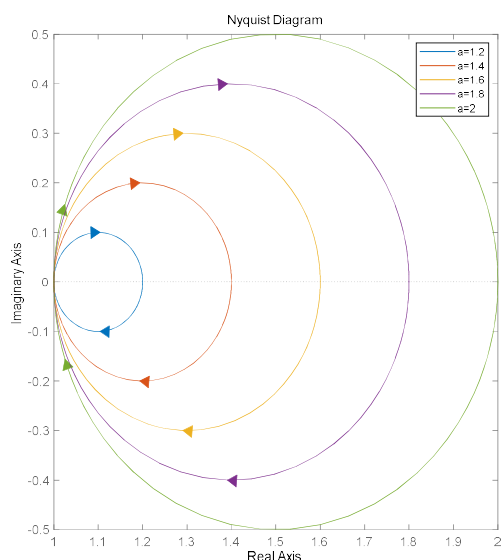
bode(sys),hold on

legd{k}=[' $\tau=$ ', num2str($t(k)$)]];

end

legend(legd)

10. 固定T，在 $a>1$ 的条件下，分别在同一幅图绘制不同a时 $G(s) = \frac{aTs+1}{Ts+1}$ 的Nyquist图和Bode图，分析a的变化对Nyquist曲线和Bode图的影响。



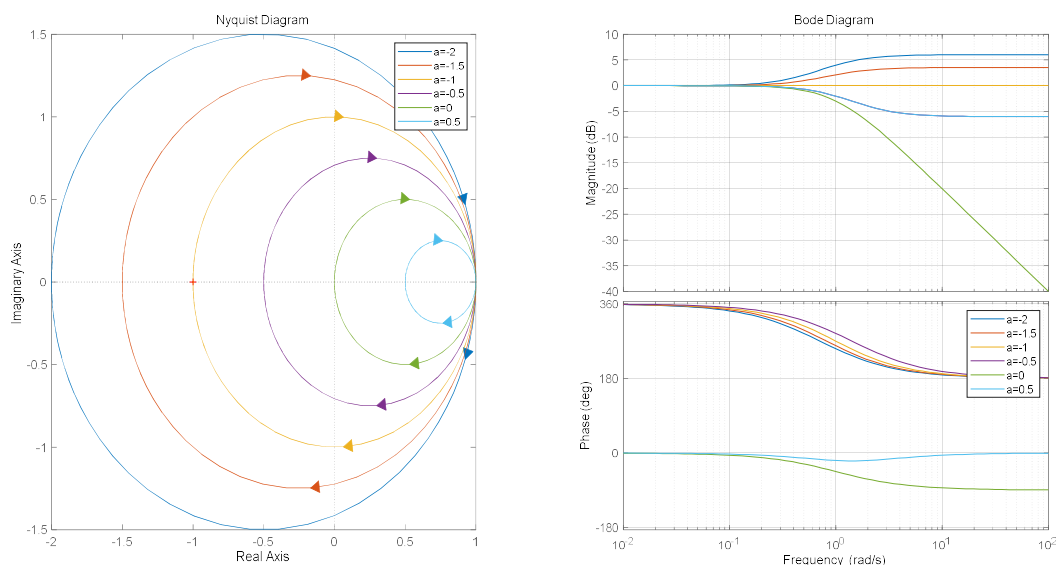
结论：

- (1) 固定 $T=1$, $a=1.2-2$, a 越大，Nyquist图半径越大； a 越大，bode图幅频峰最终值和相频峰值也越大。
- (2) 系统始终处于稳定状态。

MATLAB代码如下：

```
%2.10
T=1;
subplot(1,2,1)%nyquist 图
a=1.2:0.2:2;
for k=1:5
    num=[a(k)*T 1];
    den=[T 1];
    sys=tf(num,den);
    nyquist(sys),hold on
    legd{k}=[ 'a=',num2str(a(k))];
end
legend(legd)
subplot(1,2,2)%bode 图
for k=1:5
    num=[a(k)*T 1];
    den=[T 1];
    sys=tf(num,den);
    bode(sys),hold on
    legd{k}=[ 'a=',num2str(a(k))];
end
legend(legd)
```

11. 固定T，在 $a < 1$ 的条件下，分别在同一幅图绘制不同a时 $G(s) = \frac{aTs+1}{Ts+1}$ 的Nyquist图和Bode图，分析a的变化对Nyquist曲线和Bode图的影响。



结论:

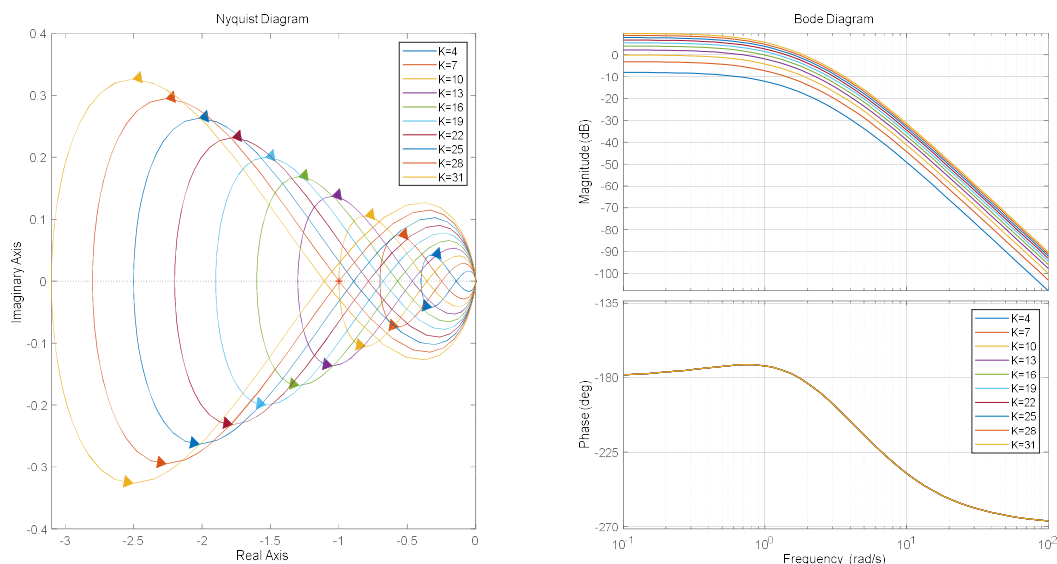
(1) 固定 $T=1$, $a=-2:0.5:0.5$, a 越小, Nyquist图半径越大; a 越小 (除了 $a=0$), bode图幅频峰最终值和相频峰值也越大。($a=0$ 时, 一阶微分环节丢失, 不予考虑在内。)

(2) 由routh判据, $aT > -1$, 闭环系统稳定. 对应当 $a=-1$ 时, Nyquist曲线经过 $(-1, j0)$, 临界稳定; $-1 < a < 1$ 时, 闭环系统稳定; $a < -1$ 时, 闭环系统不稳定。

MATLAB代码如下:

```
%2.11
T=1;
subplot(1,2,1)%nyquist 图
a=-2:0.5:0.5;
for k=1:6
    num=[a(k)*T 1];
    den=[T 1];
    sys=tf(num,den);
    nyquist(sys),hold on
    legd{k}=[ 'a= ',num2str(a(k))];
end
legend(legd)
subplot(1,2,2)%bode 图
for k=1:6
    num=[a(k)*T 1];
    den=[T 1];
    sys=tf(num,den);
    bode(sys),hold on
    legd{k}=[ 'a= ',num2str(a(k))];
end
legend(legd)
```

12. 分别在同一幅图画出不同K时 $G(s) = \frac{K}{(s+2)(s+5)(s-1)}$ 的Nyquist图和Bode图，分析K的变化对Nyquist曲线和Bode图的影响。借助于Nyquist图，试着确定使单位反馈闭环系统稳定的K的范围。



(1) 取 $K=4:3:31$, K 越大, 与负实轴交点横坐标越小 (越远离虚轴); K 越大, bode图幅频特性幅值越低, 相频没有变化。

(2) 当 $K=28$ 或者 $K=10$ 时, Nyquist曲线经过 $(-1, j0)$, 由Nyquist稳定判据可知, 此时系统临界稳定; $K>28$ 时, 曲线绕 $(-1, j0)$ 顺时针一周 (全频段), 即 $R=-1$, 由 $G(s)$ 表达式可知 $P=1$, 故 $Z=P-R=2$; 闭环系统不稳定; $10<K<28$ 时, 曲线绕 $(-1, j0)$ 逆时针一周 (全频段), 即 $R=1$, 由 $G(s)$ 表达式可知 $P=1$, 故 $Z=P-R=0$; 闭环系统稳定。 $K<10$ 时, 曲线不绕 $(-1, j0)$ 转圈, 故 $R=0$, 由 $G(s)$ 表达式可知 $P=1$, 故 $Z=P-R=1$, 闭环系统不稳定。

可知使得单位反馈闭环系统稳定时 K 的范围是 $10<K<28$ 。

MATLAB代码如下:

%2.12

subplot(1,2,1)%nyquist 图

K=4:3:31;

for k=1:10

num=[K(k)];

den=conv(conv([1,2],[1,5]),[1,-1]);

sys=tf(num,den);

nyquist(sys),hold on

legd{k}=['K= ',num2str(K(k))];

end

legend(legd)

subplot(1,2,2)%bode 图

for k=1:10

num=[K(k)];

den=conv(conv([1,2],[1,5]),[1,-1]);

sys=tf(num,den);

bode(sys),hold on

legd{k}=['K= ',num2str(K(k))];

end

legend(legd)